

## IgA nephropathy 의 증후군\*

—면역 병리학적 연구—

계명대학교 의과대학 병리학교실

### 장 은 숙

#### =Abstract=

#### Syndrome of IgA nephropathy —Immunohistopathological study—

Eun Sook Chang, MD

Department of Pathology, Keimyung University  
School of Medicine, Taegu, Korea

Since Berger and Hinglais published the first account of IgA nephropathy in 1968, IgA nephropathy has been recognized as a distinct form of primary glomerular disease and is recognized as the most common form of glomerulonephritis.

The diagnostic features of primary IgA nephritis are mesangial deposits of IgA, mesangial expansion and proliferation with variable acute proliferative and sclerotic glomerular lesions in absence of systemic disease, but mesangial deposits are also seen in Henoch-Schönlein purpura and systemic lupus erythematosus and in association with certain other disease such as hepatobiliary disorder. It has now become clear that several different clinical conditions share this common immunopathology. Several possible immunopathogenesis have been found and it felt that IgA nephropathy should be regarded as a syndrome. IgA immune complex is the most important pathogenical role in glomerulonephritis with mesangial IgA deposits. Several hypotheses have been proposed to explain the occurrence of nephritogenic IgA class immune complexes. Increased production of IgA due to an impaired immunoregulation and physiological immune response to acute antigen exposure, and decreased clearance of IgA due to impaired macrophage function.

Activation of the alternative pathway of complement cascade in IgA nephropathy can result hypocomplementemia in active cases and the deposition of complement is induced by IgG/IgM codeposits, the deposition of complement is required for glomerular injury which is responsible for the alterations in glomerular function. 41 cases of renal biopsy specimens were selected out of 133 renal biopsy cases and summarized with correlation to their light microscopic and immunofluorescence findings, which obtained the period of Sep. 1986-Oct. 1988 at the department of Pathology, Keimyung University, Dongsan Hospital, Taegu, Korea.

The results were as follows:

- 1) The incidence of IgA nephropathy was 30.8% of all renal biopsy cases.
- 2) Sex distribution showed slight male preponderance with male: female ratio of 1.05 : 1.
- 3) Age distribution were 0~9 years 2.4%, 10~19 years 19.5%, 20~29 years 46.3%, 30~39 years 14.6%, 40~49 years 7.3%, 50~59 years 7.3%, 60~69 years 2.4%. The young age group of age 10

\* 이 논문은 1988년도 계명대학교 융종연구비 및 동산의료원 조사연구비로 이루어졌다.

—29 years was the most prevalent.

4) The clinical symptoms were hematuria 71.8%, proteinuria(below Ig/day) 4.9%, the rest above Ig/day, nephrotic syndrome 24.3%, edema without nephrotic syndrome 31.7%.

5) The distributions of light microscopic findings were minimal change 19.5%, mesangial proliferation 36.6%, focal/segmental proliferation 7.3%, diffuse proliferation 17.1%, sclerosis 12.2% and crescents 2.4%.

6) Immunofluorescence study showed significant granular mesangial deposits of IgA and IgM 100%, IgG 75.6%, C<sub>3</sub> 80.4%, fibrinogen 63.4%.

## 서 론

1968년 Berger 와 Hinglais<sup>1)</sup>에 의해 처음으로 IgA nephropathy 가 발표된 이래, 이는 원발성 사구체 질환의 한 독특한 형으로 근래에 와서 가장 혼란 형의 사구체 신염으로 인식되었다<sup>2)</sup>. 보고에 따라 지역적으로 차이가 있으나 전세계적으로 원발성 사구체 신염의 약 15%를 차지하며<sup>3)</sup> 우리나라에서는 7.2%~23.2%이고<sup>4~6)</sup> 날로 보고가 증가하고 있다.<sup>7~12)</sup> 신생검의 면역형 광검사에서 가장 지배적인 immunoglobulin 은 IgA 이고 보통 C<sub>3</sub> 와 때로는 IgG, IgM 그리고 fibrinogen 의 침착도 동반한다. 그런데 원발성 IgA nephropathy 에서 보는 면역형 광검사 소견은 다른 전신질환 예, Henoch-Schönlein purpura(H-SP), systemic lupus erythematosus(SLE), 그리고 hepatobiliary disease 에서도 동일한 면역병리학적 양상을 보이는바, 이를 mesangiopathic glomerulopathy 를 구별없이 개념상 IgA nephropathy 의 범주에 넣어서 이른바 총괄하여 IgA nephropathy 의 syndrome 이라고 불리야 한다는 보고가 있다.<sup>13)</sup>

우리나라에서도 1970년 후반에 와서 면역형 광검사가 실시됨에 따라 IgA nephropathy 를 진단할 수 있게 되어 그 수가 누적되고 있는바 저자는 신생검 조직 면역형 광검사에서 IgA 침착이 있어 소위 IgA nephropathy 의 증후군에 해당하는 증례들을 가져내어 이들의 병리조직학적 및 면역형 광학적 소견을 분석연구하고 또 이들의 병원설에 대해서 문헌고찰과 더불어 본증례들과 비교하여 제조명하고자 본 연구를 시행하는 바이다.

## 재료 및 방법

### 1. 검사재료

1987년 9월부터 1988년 10월까지 계명대학교 동산

병원 해부병리과에서 검사된 신 생검 조직 중 면역형 광검사를 명행하였던 총 133예 중 사구체에 IgA 침착이 IgG 혹은 IgM 보다 강하게 내지 등등하게 염색되어 나타나는 41예를 가려내어 연구대상으로 했으며 이들의 조직표본의 재검토 및 임상기록의 재조사를 아울러 시행하였다. 임상증상과 검사소견에 특별히 유념하였다.

### 2. 광학형미경적 검사

생검한 신 조직을 2등분하여 이중에서 1개를 즉시 Dobosq Brazil 액에 고정시켜 통상 paraffin 포매방법으로 조직표본을 제작하고, 2μ 절편조직을 hematoxylin-eosin 염색, periodic acid-Schiff 염색, periodic acid-Schiff diastase 염색, periodic acid silver methenamine 염색을 시행하고, 3μ 절편조직을 Masson trichrome 염색을 시행하여 경검하였다.

### 3. 면역형광 검사

2등분 신 조직 중에서 1개를 즉시 micro tube에 넣어 밀폐하여 -70°C 의 deep freezer에서 보관후 검사조직 1개 당 9개 slide에 각각 4~5개의 2μ 동결절편조직을 붙여서 IgG, IgA, IgM, C<sub>3</sub>, C<sub>4</sub>, C<sub>1q</sub>, fibrinogen, kappa, lambda에 대한 면역형 광염색을 시행하여 Leitz DIAPLAN(3-λ PLEOMOPAK) 형 광현미경으로 관찰하였다.

#### 면역형 광 염색법

① air dry: 30분

② washing with PBS buffer(pH 7.2): 5분씩  
2번

③ incubation with antiserum in humidifying chamber: 45분

④ washing with PBS buffer(pH 7.2): 5분씩 3번

⑤ mounting with cover slip

Antiserum은 Behring 제제를 사용하였고 희석 배수는 1:30으로 하였다.

Table 1. Clinical data of 41 patients with IgA nephropathy

Patient No.	Age/ Sex	Duration of Symptom prior to Bx	Edema	Laboratory Values										
				Urin- ary Prote- in(g/ 24hr)	Hema- turia (RBC/ hpf)	Renal Function			Chole- sterol (ml/ dl)	T.pr/ Alb (g/dl)	HBs			
				BUN (mg/ dl)	Cr (mg/ dl)	CrCl (ml/ min)				Ag	Ab	ANA	LE	RA
1	24/M	8 mo	+	15.7	•	•	83.7	591	4.2/1.7	—	—	—	•	—
2	56/F	2 mo	+	24.2	2	11	1.1	45.6	453	5.6/2.4	—	+	•	—
3	61/F	15 days	++	8.1	1	20	0.8	17.2	556	4.1/1.4	—	—	—	•
4	11/F	7 days	—	2.4	15	•	•	71.8	•	•	•	•	—	•
5	34/F	10 yrs	+	5.4	•	31.6	1.0	74	394	3.42/1.44	—	—	•	—
6	19/M	1 mo	•	1.9	12	21	0.7	24.8	147	7.6/3.9	•	+	—	•
7	12/M	6 mo	•	5.8	5	11	0.5	68.1	187	/3.8	•	•	•	•
8	25/F	1 yr	•	4.8	20	20	1.6	62.1	164	7.2/4.0	—	—	—	—
9	45/M	16 yrs	+	2.9	2	17	1.8	76.7	196	6.5/3.6	+	—	•	—
10	26/M	11 yrs	+	11.4	18	12	1.4	69.6	313	5.7/2.8	•	•	•	•
11	15/F	1 mo	+	2.5	Many	10	1.0	34.2	293	5.6/3.0	—	—	—	•
12	22/M	5 mo	+	3.1	20	7	1.1	24.0	173	5.5/2.4	—	+	•	—
13	18/M	5 wk	+	5.2	30	13	0.8	134.0	202	7.5/4.4	•	•	—	•
14	31/M	10 yrs	—	5.8	2	14	1.1	99.5	167	7.0/4.4	—	—	•	•
15	36/F	4 yrs	+	0.6	10	13	0.6	69.2	226	6.9/3.7	—	+	•	—
16	26/M	16 yrs	—	11.0	Many	19	1.5	99.7	247	6.8/3.6	+	—	—	—
17	30/M	10 yrs	—	5.4	2	13	0.9	108.5	208	6.8/4.8	—	—	•	—
18	21/F	1 mo	—	2.0	22	12	0.9	76.4	201	7.3/4.3	—	+	•	—
19	21/M	14 yrs	++	9.3	2	13	1.6	50.5	956	4.7/1.9	•	•	•	•
20	27/F	5 yrs	++	1.9	Many	13	0.9	87.0	259	6.6/3.8	—	•	—	•
21	29/M	3 yrs	++	7.3	Many	21	1.6	59.4	224	5.5/2.1	+	—	—	•
22	24/M	8 mo	—	3.7	20	17	1.4	149.4	166	7.5/4.6	•	•	•	•
23	29/M	•	•	4.5	20	19	1.8	95.1	138	7.2/3.9	—	—	•	•
24	58/F	3 mo	+++	7.6	6	16	1.0	27.9	666	4.0/1.3	+	—	•	—
25	24/M	•	±	0.7	Many	17	1.0	94.6	202	6.6/4.3	—	—	—	—
26	23/F	4 yrs	+	4.2	1	11	0.9	78.8	185	7.3/4.7	—	+	—	•
27	18/M	2 mo	—	15.1	3	9	1.0	95.0	254	6.4/4.0	—	+	—	—
28	24/F	9 mo	+	4.8	3	17	1.0	41.8	313	5.7/3.2	—	—	•	•
29	29/F	20 days	++	10.4	Many	6	0.7	130.5	297	4.0/1.9	—	+	—	•
30	20/M	8 yrs	—	6.3	12	20	2.0	53.6	161	5.8/3.8	—	—	—	—
31	31/M	2 yrs	—	3.1	2	11	0.8	46.0	116	6.2/2.9	—	—	—	—
32	35/M	•	+	22.2	2	29	2.4	21.0	708	7.8/1.4	•	•	•	•
33	55/M	2 mo	++	6.0	15	31	2.2	37.0	178	5.9/2.8	+	—	—	+
34	8/F	25 days	—	6.0	Many	12	0.4	19.2	191	5.7/2.6	—	—	•	•
35	42/M	20 days	+	6.3	7	51	2.1	26.2	92	4.1/1.9	—	—	•	—
36	17/F	4 mo	—	3.6	10	15	0.9	28.6	89	5.5/2.3	—	+	•	—
37	40/F	5 mo	+	8.6	25	41	1.6	46.6	169	5.3/2.0	—	—	+	—
38	23/F	2 yrs	+	2.8	Many	54	1.3	17.7	265	5.1/2.0	•	•	+	•
39	13/F	10 mo	—	1.7	10	26	1.0	•	7.0/3.6	•	•	+	+	•
40	26/F	•	++	46.7	Many	39	0.7	44.6	295	4.5/1.3	•	•	+	•
41	21/F	16 yrs	++	11.4	20	58	1.8	72.2	235	5.5/2.2	—	—	•	+

## 결과

## 1. IgA nephropathy의 임상소견

총 41명 중에 원발성 IgA nephropathy인 32예와 속발성 IgA nephropathy인 9예 중에는 CT 상 및 검사소견상 간경화증이 의심되는 간기능장애 1예와 HSP 2예 그리고 SLE 6예의 임상소견은 다음과 같다(표 1).

(1) 성별 및 연령별 발생빈도: 총 41예 중 남자가 21예(51.2%), 여자가 20예(48.7%)로서 남녀비는 1.05:1로서 거의 비등하였다. 연령별 분포는 8세~61세 사이의 광범위하고 이중 20대(20~29세)가 가장 빈발했고(46.3%), 다음이 10대(10~19세)이고(19.5%), 40세 이상의 연령에서는 17%에 불과했다(표 2). 한편 원발성 IgA nephropathy만 고려하면 남녀비는 1.46:1로 남자에서 호발했고 SLE는 6예 모두 여자였다.

Table 2. Age and sex distribution of IgA nephropathy

Age	Male	Female	Total	%
0~9	.	1	1	2.4
10~19	4	4	8	19.5
20~29	10	9	19	46.3
30~39	4	2	6	14.6
40~49	2	1	3	7.3
50~59	1	2	3	7.3
60~69	.	1	1	2.4
70~79	.	.	.	.
Total	21	20	41	100.0

M : F = 21 : 20(1.05 : 1)

(2) 임상증상 및 검사소견: 혈뇨는 신생검 당시에 71.8%에서 경험했고 이중에서 69.2%에서 육안적 혈뇨를 나타냈다. 단백뇨는 전예(100%)에서 나타났고 노단백치는 0.6/24hr~46.7g/24hr로 차지가 심했고 1g/24hr 이하는 2예(4.87%) 뿐이었다. Nephrotic syndrome(NS)를 나타낸 10예(24.3%)중에서 남자 4예, 여자 6예로 남녀비는 1:1.50이었고, 20대(20~29세)에서 5예(50%)이었다(표 3). Azotemia는 9예(21.9%)에서 나타났으며 이중 7예는 속발성 IgA nephropathy 군이었다(5예는 SLE, 1예는 간기능이상, 1예는 HSP). 나머지 2예는 원발성 IgA nephropathy 군이었다. NS를 나타낸 예를 제외한 환자중

Table 3. Age and sex distribution of IgA nephropathy with nephrotic syndrome

Age	Male	Female	Total
0~9	.	.	.
10~19	.	.	.
20~29	3	2	5
30~39	1	1	2
40~49	.	.	.
50~59	.	2	2
60~69	.	1	1
Total	4	6	10

M : F = 1 : 1.5

13예(31.7%)에서 부종을 나타냈다. Cholesteral 치는 NS를 나타내지 않은 환자중 2예에서만 상승되었다. Total protein과 albumin은 NS이 나타난 10예와 이외 10예를 합하여 20예에서 감소되었고, 반면 total protein과 albumin 치가 정상인 환자는 노단백치도 정상이었다. 그러나 1환자는 노단백은 정상인데 total protein과 albumin이 감소되었고 또 1환자는 albumin만 감소되었다. Creatinine clearance 치는 정상인 7예(17.0%)를 제외한 34예 중에서

Table 4. Duration of symptom prior to renal biopsy in IgA nephropathy

Duration	Male	Female	Total
less than 1/2 mo	.	2	2
> 1/2mo~1mo	2	4	6
> 1mo~2mo	3	1	4
> 2mo~3mo	.	1	1
> 3mo~4mo	.	1	1
> 4mo~5mo	1	1	2
> 5mo~6mo	1	.	1
> 6mo~7mo	.	.	.
> 7mo~8mo	2	.	2
> 8mo~9mo	.	1	1
> 9mo~10mo	.	1	1
> 10mo~11mo	.	.	.
> 11mo~12mo	.	1	1
> 1y~5y	2	4	6
> 5y~10y	3	1	4
> 10y~20y	4	1	5
Total	18	19	27*

mo: month

y : year

\* : 4 pts with no note of duration were excluded.

Table 5. Light microscopic diagnosis and immunofluorescence findings of IgA nephropathy.

Patient No.	Age/Sex	IF No.	LM diagnosis	IF findings								
				Site	Type	IgG	IgA	IgM	C <sub>s</sub>	C <sub>t</sub>	C <sub>u</sub>	Fbg
1 24/M	88-47		Minimal change	P, M	L, G	+	+	+	±	-	-	±
2 56/F	88-105		Minimal change	M, P	L, G	±	+	±	±	-	±	+
3 61/F	88-74		Minimal change	P, M	G	±	+	±	-	-	-	±
4 11/F	88-49		Minimal change	P, M	L, G	±	+	+	-	±	++	+
5 34/F	87-7		Minimal change	P, M	L, G	±	+	+	-	-	ND	ND
6 19/M	87-57		Minimal change	M	G	-	++	+	+	-	++	+
7 12/M	88-15		Minimal change	P, M	G	±	+	±	-	-	+	ND
8 25/F	88-11		Mesangial proliferative glomerulonephritis	M, P	G	-	++	+	+	-	-	+
9 45/M	88-67		Mesangial proliferative glomerulonephritis	M, P	L, G	±	++	+	-	±	+	+
10 26/M	88-61		Mesangial proliferative glomerulonephritis	M, P	L, G	±	++	+	+	+	+	+
11 15/F	88-60		Mesangial proliferative glomerulonephritis	M, P	L, G	±	+	+	+	-	±	+
12 22/M	88-36		Mesangial proliferative glomerulonephritis	P, M	L, G	+	++	+	+	±	-	+
13 18/M	88-23		Mesangial proliferative glomerulonephritis	M	G	±	++	+	+	-	+	+
14 31/M	88-46		Mesangial proliferative glomerulonephritis	M	L, G	+	++	+	-	±	+	+
15 36/F	88-4		Mesangial proliferative glomerulonephritis	M	G	-	++	+	+	-	+	+
16 26/M	87-53		Mesangial proliferative glomerulonephritis(IgA nephropathy)	M, P	L, G	±	++	+	++	+	+	++
17 30/M	88-94		Mesangial proliferative and sclerosing glomerulonephritis(IgA nephropathy)	P, M	G	-	++	+	+	±	+	+
18 21/F	88-88		Mesangial proliferative and sclerosing GN(IgA nephropathy)	M	G	-	++	+	-	+	-	+
19 21/M	88-87		Mesangial proliferative and sclerosing GN(IgA nephropathy)	P, M	L, G	±	++	+	±	-	±	++
20 27/F	87-43		Mesangial proliferative and sclerosing GN(IgA nephropathy)	M	G	-	++	+	+	-	-	ND
21 29/M	88-71		Mesangial proliferative and sclerosing GN(IgA nephropathy)	M, P	G	±	++	+	+	+	+	-
22 24/M	88-65		Focal mesangial proliferative and crescentic GN (IgA nephropathy)	P, M	L, G	±	++	+	+	-	±	+
23 29/M	87-24		Focal segmental glomerular sclerosis	M	G	±	++	+	-	+	-	ND
24 58/F	88-51		Focal segmental glomerular sclerosis	P, M	L, G	+	+	±	-	-	±	+
25 24/M	87-59		Segmental glomerulosclerosis	M	G	+	++	+	++	-	+	+
26 23/F	88-9		Focal glomerulosclerosis	M	G	-	++	+	+	-	+	+
27 18/M	88-66		Membranous glomerulonephritis	P, M	L, G	+	+	+	±	+	+	+
28 24/F	88-81		Membranoproliferative glomerulonephritis	M	G	+	+	+	++	±	±	ND
29 29/F	87-17		Mesangial-capillary glomerulonephritis	P, M	G	+	++	+	++	-	+	+

30	20/M	88~100	Crescentic glomerulonephritis		
			M	G	P
31	31/M	87~13	Focal glomerulonephritis	P, M	G
32	35/M	87~49	Chronic glomerulonephritis	M, L, G	ND
33	55/M	88~8	Mesangial proliferative glomerulonephritis*	M, P	G
34	8/F	87~42	Focal glomerulonephritis**	M	G
35	42/M	88~80	Henoeh-Schölein purpura	P, M	G
36	26/F	87~54	Lupus nephritis(minimal lupus lesion)	P, M	G
37	40/F	88~45	Lupus nephritis(difuse proliferative lupus GN)	M, P	G
38	23/F	88~40	Membranoproliferative glomerulonephritis(difuse proliferative lupus GN)	M, L, G	ND
39	13/F	87~60	Membranoproliferative glomerulonephritis(difuse proliferative lupus GN)	M, P	G
40	26/F	88~102	Membranoproliferative glomerulonephritis(difuse proliferative lupus GN)	P, M	G
41	21/F	88~20	Membranous lupus glomerulonephritis	P, M	G

P, capillary wall related; M, mesangial; G, granular; L, linear; ND, not done  
\*: Liver dysfunction  
\*\*: Henoeh-Schölein purpura

2예(4.8%)는 상승되었고 나머지 32예(78.0%)는 다양하게 혈저히 저하되었다. HbsAg는 6예(14.6%)에서 양성이었고, HbsAb는 9예(21.9%)에서 양성이었으며 간기능이 상인 예는 HbsAg만 양성이었다. Antinuclear antibody(ANA)는 4예(9.7%)에서 양성이었는데 모두 SLE 환자였다. Lupus erythematosus(LE) 검사는 2예(SLE 환자)에서 양성이었다. Rheumatoid factor(RA) 검사는 2명(4.8%)에서 양성이고 이중에서 1예는 간기능이 상인 환자였다.

신 생검전 임상증상의 발현 기간은 7일에서 16년으로 그 차이가 심하다. 1년미만이 22예(59.4%)로 가장 많았고 6개월이상에서 1년미만이 7예(24.3%), 1년이상에서 5년미만이 6예(16.2%), 5년이상에서 10년미만이 4예(10.8%) 그리고 10년이상이 5예(13.5%)의 순서였다(표 4).

## 2. IgA nephropathy의 광학현미경적 소견

총 133예에서 면역형광 검사를 병행하여 IgA nephropathy로 진단된 총 41예의 광학현미경적 진단과 소견을 면밀히 재검토하였다(표 5). 모든 신 생검조직이 면역형광검사상 mesangial IgA 침착이란 공통점이 있으나(사진 8) 광학현미경 검사 소견은 아주 다양하였다(사진 1~7). 거의 정상 혹은 mesangial stalk 부위의 경한 확장, capillary의 경한 비후, 혹은 아주 경한 mesangial cell의 증가를 보이는 minimal change 가 8예(19.5%)에서 나타났다. Mesangial proliferation은 15예(36.6%)에서 나타났는데 이를 더 자세히 판찰하면 단순히 mesangial proliferation만 보인 2예(4.9%), diffuse mesangial proliferation과 global sclerosis를 동반한 12예(29.2%)에서 global sclerotic glomerulus 수가 각각 6%, 11%, 20%, 23%, 24%, 25%, 32%, 41%로 다양하였으나 50%이 하였다. Diffuse mesangial proliferation, global sclerosis 그리고 crescents가 같이 나타나는 4예(9.7%)가 있었고, diffuse mesangial proliferation, global sclerosis 그리고 fibrinoid necrosis가 같이 나타난 2예(4.8%)가 있었고, 또 diffuse mesangial proliferation, global sclerosis 그리고 double contuor가 동시에 나타난 2예(4.8%)가 있었다. Focal/segmental proliferation은 3예(7.3%)에서 보았다. Diffuse proliferation은 7예(17.1%)에서 보았고 이는 diffuse mesangial 및 endocapillary proliferation을 보였고 이중 4예는 SLE 동반한 예들이다. Sclerosis 5예(12.2%) 가운데는 chronic glomerulonephritis 를

Table 6. Histopathological features of IgA nephropathy.

Glomerular change	No. of Pt.	%
Normal or minimal change	8	19.51
Mesangial proliferation	15	36.58
Focal/Segmental proliferation	3	7.32
Diffuse proliferation	7	17.07
Sclerosis	5	12.20
Crescents	1	2.44
Membranous reaction/subepithelial deposits	2	4.88
Total	41	100.0

제검사 후 sclerotic glomerulus 가 많아 여기에 포함시켰다. Crescents 는 1예(2.4%)였다. Membranous reaction(subepithelial deposits)를 나타낸 membranous glomerulonephritis 가 2예(4.8%)로서 이 중에 SLE 1예가 포함되었다(표 6).

### 3. IgA nephropathy 의 면역형광검사 소견

면역형광검사한 총 133예 중 41예(30.8%)가 IgA 침착이 IgG나 IgM 보다 강하고나 동등하게 염색되었다. 41예 중 15예(36.5%)가 1+, 22예(33.6%)가 2+, 3예(7.3%)가 3+로 염색되었다. 41예 모두(100%)가 IgM으로 IgA 보다 약하고나(73%) 또 동등하게(27%) 염색되었고, 31예(75.6%)가 IgG 도 염색되었고, 33예(80.4%)가 C<sub>3</sub>에 약하게(43.9%), 동등하게(26.8%), 혹은 더 강하게(9.7%) 염색되었다. C<sub>4</sub>는 19예(24%)에서 2+로 염색되었고 이 중 SLE 6예는 모두 염색되었다. C<sub>1q</sub>는 19예(46.3%)에서 염색되었는데 이 중 6예의 SLE는 모두 2+ 내지 3+로 강하게 염색되었고 나머지에서는 2+ 1예를 제외하고 모두 1+ 내지 소로 염색되어 주목할만 했다. Fibrinogen은 26예(63.4%)에서 염색되었고 kappa 와 lambda 는 84%, 96.8%가 염색되었고 그 정도는 lambda 가 더 강하였다.

표 1과 5의 환자 1~32는 원발성령이고 나머지 환자 33~41은 속발성령으로 1예의 간기능이 상, 2예의 HSP 그리고 6예의 SLE 로 구성되었다. C<sub>4</sub> 와 C<sub>1q</sub>는 6예의 SLE 환자를 제외한 나머지에서는 각기 91.5%, 85.8%의 침착증여를 보였고, 소수가 소로(5예와 7예) 또 1+로(3예와 4예) 염색되었다. 반면 SLE 를 가진 환자에서는 모두 염색되었고 특히 C<sub>1q</sub>는 IgA 보다 더 강하게 2+로 2예, 3+로 4예에서 염색되었다. 2예의 HSP 는 모두 원발성병과 동

일한 면역반응을 나타내었다.

### 고 칠

IgA nephropathy 는 1968년 Berger 와 Hinglais 가 처음 보고한<sup>1)</sup> 이래 mesangium에 주로 IgA 침착을 특징으로 하는 한 독립된 형의 원발성 사구체 질환으로 인식되었다. IgA nephropathy 는 넓은 의미의 mesangial proliferative glomerulonephritis 의 범주에 속하며<sup>14)</sup> 이 중 IgA나 IgM 등 immunoglobuline 이 mesangium에 일차적으로 축적하여 야기되는 질환군을 mesangiopathic glomerulopathy 라고 명하며 이 중 IgA nephropathy 가 대표적인 질환이고 그외 IgM nephropathy 와 C<sub>3</sub> nephropathy, 그리고 HSP, SLE, cirrhotic glomerulosclerosis 등 소위 속발성 IgA nephritis<sup>3,13)</sup> 가 다 여기에 속할 수 있다. IgA nephropathy 는 공통된 면역병리학적 소견을 가지면서 여러 다른 임상증상 및 조직학적 소견을 나타냄이 근래에 와서 명백하여졌다. 이 병의 원인 및 면역병원설은 아직 이렇다 할 정론이 없는 실정이나 여러가지 발병기전이 관여하는 것으로 알려져 이 병들을 IgA nephropathy 의 syndrome 으로 간주하자는 주장도 있다.<sup>13,21)</sup>

최근에 와서 이 병은 면역복합체, 항체, 항원 등에 의해서 유발된다고 인정하고 있다.<sup>3,13)</sup> Mesangium 내에 침착하는 양상이 피부와 세동맥에서의 것과 유사하며 이는 순환면역복합체가 혼히 발견되는 HSP 와 유사한 점, 이식신장에서 IgA 의 mesangium 내 침착재발 혹은 IgA glomerulonephritis(GN) 가 있는 신장을 우발적으로 이식한 후 재빨리 침착이 소실되는 것 등의 사실로 미루어 IgA 를 포함한 IgA 면역복합체가 중요한 병원적 요인이라고 인정된다.<sup>6,</sup> 13) 많은 실험결과 원발성 IgA nephropathy 에서 혈청 IgA 농도가 상승하는 것이 증명되었다.<sup>13)</sup> Secretory immune system 과 IgA nephropathy 와의 관계를 살펴 보면 IgA 는 원래 체내로 배분자나 소분자 물질의 침투에 대한 한 barrier로서 절막면역의 작용에 독특하게 적응한다. 절막의 lamina propria에는 풍부한 plasma cell 을 함유하고 있고 이들의 대다수가 IgA secretor이다. Intestinal plasma cells 은 전신의 IgA 의 대부분을 생성한다. plasma cell 에서 생성된 IgA 는 J-chain linked dimer 이고 정상인에서는 이 dimeric IgA 가 거의 혈청에 도달하지 못하고 대부분이 담고 있는 상피세포를 통과하여서 절막면 위로 분비된다.

혈청 IgA 의 소수는 mucosal plasma cell 기원이고 subclass 가 IgA<sub>1</sub> 과 IgA<sub>2</sub> 로서 크기가 300,000 dalton 이고 J-chain 함유하는 dimer 이고 secretory component 는 없다. 한편 혈청 IgA 의 대부분(90%) 은 골수의 plasma cell 과 systemic lymphoid tissue 에서 기원된다고 생각되며 subclass 는 IgA<sub>2</sub> 이고 크기는 150,000 dalton 이고 monomer 이며 J-chain 과 secretory component 는 없다.<sup>3)</sup>

신 사구체의 mesangium 은 사구체 모세혈관강 및 juxtaglomerular apparatus 와 밀접한 관계를 가지고 있으며 mesangial cell 은 순환하는 배분자물질들이 mesangium 으로 들어올 때 이들을 탐식하는 작용이 있어 사구체의 세포내피세포라고 볼 수 있다. 면역복합체의 크기가 300,000~500,000 dalton 정도의 작은것은 사구체 모세혈관벽을 따라 침착되고, 크기가 1,000,000 dalton 이상 큰 면역복합체는 모세혈관벽에 부착하지 못하고 mesangium 에 침착한다는 보고가 있다.<sup>16)</sup> 이러한 물질의 축적에 의한 사구체의 반응상은 단순히 침착하는것 외에 크기, IgA<sub>2</sub> 의 중요성, IgA 의 양, 형태(polymeric 혹은 monomeric) 및 침착부위 등 여러 복합적인 요인들에 따라 달라진다고 생각된다.<sup>3)</sup>

IgA 가 생리적 합성보다 증가하여 과생성되면 B cell 혹은 T cell 의 결손을 초래하고 이 결과로 면역조절이 이상이 와서 ① 말초혈액안에 IgA positive lymphocyte 의 수가 증가하고 ② polyclonal B cell 의 활성에 의해 IgA 가 분비되고 ③ IgA-specific helper T cell 이 증가하고 ④ IgA-specific suppressor T cell 이 감소하여 circulating heper/suppressor T cell 의 비가 증가하게 된다.<sup>13,15)</sup> 또 IgA 면역복합체가 세포내피세포의 탐식기능의 저하로 IgA 가 mesangium 에 축적한다.<sup>17)</sup> 간경화증환자에서 간의 kupffer cell 에 의한 탐식작용의 저하로 순환면역복합체와 IgA polymer 가 증가하는 것은 혼란 일이며<sup>18)</sup> 이것이 IgA nephropathy 의 원인으로 본다.<sup>19)</sup> 보체의 alternative pathway 의 활성으로 보체는 IgA 침착부위로 몰려가고 활성인 환자에서는 보체감소증(hypocomplementemia) 을 초래한다.<sup>3,20)</sup> IgA nephropathy 에서 IgG/IgM 의 codeposits 는 혈뇨를 유발시키지 못하고 보체침착을 유발하며 이것이 사구체 손상을 일으킨다.<sup>21)</sup> 어쨌든 IgA nephropathy 의 확실한 원인은 알 수 없지만 점막질환과 관련하여 점막을 통해 들어온 항원이나 면역복합체에 의한 immune complex disease 의 범주에 넣을 수 있을 가능성이 아주 높다고 보겠다. HLA phenotype 과

관련이 있으며 특히 HLA antigen 중 Bw35, B12, DRw4, Cw1 그리고 DEw 등을 주특하고 있다.<sup>3,22)</sup>

저자가 검색한 41예의 IgA nephropathy 를 문현상 보고된 예와 비교해 보면 발생빈도에 있어 면역형광검사를 시행한 총 133예의 신 생검조직중 41예로서 30.8% 를 점하였으며 이는 일본(평균 33.3%)<sup>23-25)</sup>, 프랑스(18%)<sup>26)</sup>, 싱가폴(56.2%)<sup>27)</sup>과 비슷하나 좀 높은 편이나, 성별로 보면 남녀비가 21:20(1.05:1)로서 이는 일본(1.15:1)<sup>24)</sup>과 비슷했으나 서구나라의 보고는 남자에서 발생률이 높아 남녀비가 약 2:1 대지 15:1<sup>3)</sup>로 보고되었다. 연령별 분포는 20대(20~29세)가 46.3%로 가장 호발했고(표 2) 그 다음은 10대(10~19세)에서 19.5%가 발생하여 10대와 20대(10~29세)에서 68.1%가 발생되어 이는 문현상의 보고된<sup>3,13,16,23,28)</sup> 연령분포와 거의 비슷하다.

IgA nephropathy 의 가장 특징적인 임상소견은 젊은 사람이 상기도 감염과 동시에 혹은 과격한 운동후에 육안적 혈뇨를 주소로 내원한다. 본 연구에서 검색한 환자들은 내원하여 신 생검 당시 71.8%에서 혈뇨를, 이중 69.2%는 육안적 혈뇨를 나타냈는데 보고된 문현상에서 Lee 등<sup>29)</sup>은 혈뇨 75%(20예 중 15 예)와 육안적 혈뇨는 혈뇨중 80%(15예의 혈뇨중 12 예가 육안적 혈뇨)를 차지했으며 Nakamoto 등<sup>24)</sup>은 혈뇨 100%에서 육안적 혈뇨는 31.7%, Katz 등<sup>30)</sup>은 87.3%의 혈뇨중 75%가 육안적 혈뇨로 보고되어 있어 혈뇨는 75%에서 100%로 차이가 있고 육안적 혈뇨도 31.7%에서 80%까지 역시 차이가 크며 본연구 결과도 이 범주내에 들어간다. 단백뇨는 41예 전부(100%)에서 나타났고 뇌단백뇨가 1g/24hr 이하는 2예(4.89%)뿐이었고 nephrotic syndrome 을 10예(24.3%)에서 나타했는데 20예에서 5예(50%)였다. 보고된 문현상 Droz 등<sup>38)</sup>은 96.1%에서 단백뇨가 나타났고 이중 1g/24hr 이하는 36%였다. 또 Katz 등<sup>30)</sup>은 80.2%에서 단백뇨가 나타났고 이중에서 1g/24hr 이하는 66%이었고 nephrotic syndrome 을 나타낸 예에는 11.2%였다. 또 김 등<sup>16)</sup>의 보고에는 단백뇨가 73.4%, nephrotic syndrome 을 나타낸 예가 13.9%로 보고 되었다. 본 연구 결과는 1g/24hr 이하의 단백뇨를 나타낸 예가 적은 반면 nephrotic syndrome 발생빈도가 다소 높았다. 더욱이 9예(21.9%)에서 BUN 치가 26mg/dl 이상인 azotemia 를 나타내었는데 이중 7예는 속발성형 군에 속하였고 이중 5명은 SLE 였고, 1예는 HSP 그리고 1예는 임기능이상인 예였다. 이를 종합하여 볼때 본연구 대상인 예들은 신 생검 당시 문현상의 예들보다 신 기능장애가

더 진행되었다고 사려된다.

광학현미경적 진단 분포(표 1)는 그 조직병리학적 양상에 따라 다시 7군으로 분류하였다(표 6). Minimal change 군은 8예(19.5%)이었고 지금까지 보고된 문헌에서는 9%, 14.3%, 30.6%<sup>16)</sup>로 다양하다. mesangial proliferation 군이 15예(36.6%)이였는데 보고된 문헌상에도 16.7%<sup>16)</sup>, 68%<sup>9)</sup>, 71%<sup>5)</sup>로 다양했다. 이군에 속한 15예를 더 자세히 관찰하여 단순한 mesangial proliferation만 보인 예는 2예(4.9%)뿐이고 나머지는 global sclerosis, crescents, fibrinoid necrosis 및 double contuor 등 다양한 양상을 같이 보였다. global sclerotic glomerulus 수는 6%~41%로 다양하나 50% 미만이 있다. Focal/segmental proliferation 군에 속한 예는 3예(7.32%)이었고 보고된 문헌상에 9%, 10%<sup>16)</sup>, 23%<sup>9)</sup> 보다 다소 빈도가 적은 편이다. Diffuse proliferation 군에 속한 membranoproliferative glomerulonephritis는 7예(17%)로서 이는 일본의 Nakamoto<sup>24)</sup>의 2.5%와 Ueda 등<sup>25)</sup>의 15%, 카나다의 Droz<sup>26)</sup>의 6.7% 그리고 김 등<sup>5)</sup>의 4.8% 보다 높았다. 이들은 Immunoglobulin 이 subendothelial extension을 할 수 있어서 광학현미경상 모세혈관기저막의 double contuor를 볼 수 있기 때문에 내려진 진단으로 간주된다.<sup>16)</sup> Sclerosis 군에 속하는 5예(2.20%)는 focal/segmental glomerulosclerosis 4예와 chronic glomerulonephritis로 진단된 1예로 포함시켰으며 보고된 문헌상에 6%<sup>9)</sup>와 9.5% 보다 낮은 편이다. 이는 sclerosis의 범위와 손상된 사구체의 %를 정하는데 차이가 있기 때문에 사려된다.<sup>3,5)</sup> Crescents 군은 crescentic glomerulonephritis로 진단된 1예(2.44%)로서 보고된 문헌에서는 2.5%<sup>24)</sup>, 15%<sup>25)</sup>로 보고에 따라 차이가 크나 적은 빈도와 비슷하다. Membranous glomerulonephritis는 2예(4.88%)로서 이 중 1예는 SLE였고 1예는 Hbs antibody 가 양성이었다. IgA nephropathy는 보고된 문헌상 membranous glomerulonephritis를 제외한 모든 glomerular lesion이 나타난다고 되어 있으나<sup>14)</sup> hepatitis B antigen을 가진 환자가 membranous glomerulonephritis에 걸렸고 이 신 조직에서 IgA가 미만성 내지 분절성으로 침착된 증례 보고가 있고<sup>31)</sup> 또 IgA nephropathy 79예 중 3예(3.79%)가 subendothelial extension을 보인 보고도 있다.<sup>16)</sup>

면역형 광검사 소견은 IgA 단독 침착은 없었고 IgG, IgM, C<sub>3</sub> 및 fibrinogen을 동반한 경우가 각각 7.5%, 100%, 80%, 63.4%로 이는 문헌상 보고

50.1%, 21.4%, 82.4%, 37.2%<sup>27)</sup>와 29.4%, 82.3%, 100%, 32.3%<sup>31)</sup> 그리고 60%, 55%, 65%, 50%<sup>29)</sup>와 비교하여 볼 때 IgG 와 IgM의 침착빈도가 높았고 C<sub>3</sub>는 3보고들의 평균치 빈도보다 약간 낮고 fibrinogen 침착빈도는 3보고들의 평균치 빈도보다 갑절 높았다. C<sub>4</sub>는 9예(24%)에서 염색되었는데 문헌상의 김 등<sup>16)</sup>은 0%, Lee 등<sup>29)</sup>은 15%가 침착되었고 C<sub>1q</sub>는 19예(46.3%)에서 침착되었다. 문헌상 김 등<sup>16)</sup>은 0%로 보고했다. C<sub>4</sub>와 C<sub>1q</sub>는 6예의 SLE에서 아주 특징적으로 강하게 침착했고 이를 제외하면 각자 8.5%와 14.2%의 침착빈도를 보인 셈이다. 즉 대부분인 91.5%와 85.8%에서 침착 결여인데 이 이유는 IgA 가 풍부한 IgA 면역복합체에 의하여 보체의 활성화과정이 일시적이고 또 국소적인 것이기 때문이라고 본다.<sup>32)</sup> 이에 반해 SLE를 가진 환자에서는 C<sub>3</sub>가 classical 및 alternative pathways에 의해 결합되고 피부나 신장의 병소는 classical sequence의 보체(C<sub>1q</sub>, C<sub>4</sub>)와 alternative pathway의 보체들을 합유하기 때문에 SLE에서는 C<sub>1q</sub>와 C<sub>5</sub>가 강하게 염색된다.<sup>14)</sup>

예후에 영향을 미치는 인자로서 병리조직학적으로는 광범위의 mesangium 증식, crescent 형성, 사구체정화<sup>33)</sup>, 간질의 섬유화, 내피하층 침착 및 lamina densa의 병변<sup>4,29,32)</sup> 등을 들 수 있고 최근에는 diffuse endocapillary proliferation도 나쁜 경과를 가져온다<sup>34)</sup>고 한다.

임상적으로는 신증범위의 단백뇨, 혈뇨, 특히 혈미경적 혈뇨, 고혈압, 혈중 IgA 치가 높을 때 등이며, 소아에서는 단백뇨가 minimal change나 mesangial alteration에서 나타나면 오히려 예후가 좋고 또 steroid에 잘 반응한다는 보고도 있다<sup>2,3)</sup>.

IgA nephropathy의 광학현미경적 양상이 다양하여 신 생검조직 진단에는 반드시 면역형 광검사를 병행해야 하는 점이 강조되었다.

## 결 론

1987년 9월부터 1988년 10월까지 계명대학교 동산병원 해부병리과에서 검사된 신 생검조직 중 면역형 광검사를 병행하였던 총 133예에서 IgA 침착이 IgG나 IgM 보다 강하게 혹은 동등하게 침착된 41예를 광학현미경적 및 면역병리학적 재검토하고 이들의 병리조직학적 및 임상 소견을 재정리하고 분석하여 문헌고찰과 함께 다음과 같은 결론을 얻었다.

1) IgA nephropathy의 발생빈도는 30.8%이다.

- 2) 성별분포는 남녀비가 1.05 : 1로 거의 비등하다
- 3) 연령분포는 10세 미만에 2.4%, 10~19세 19.5%  
20~29세 46.3%, 30~39세 14.6%, 40~49세 7.3%  
50~59세 7.3%, 60~69세 2.4%, 65.8%가 10~29  
세의 젊은 연령층에서 빌병하였다.
- 4) 임상증세는 혈뇨가 71.8%, 육안적 혈뇨는 혈뇨  
의 69.2%, 단백뇨는 100%, 노단백뇨 1g/24hr 이하  
는 4.87%, nephrotic syndrome은 24.3%, nep-  
hrotic syndrome 아닌 예에서의 edema는 31.7%.
- 5) 광학현미경적 소견은 7군으로 분류하고, mini-  
mal change 군이 19.5%, mesangial proliferation  
군이 36.5%, focal/segmental proliferation은 7.3%  
, diffuse proliferation 군 17.1%, sclerosis 군  
12.2%, crescents 군 2.4% membranous reaction  
(subepithelial deposits)군 4.8%이 있다.

6) 면역형광검사 소견은 41예 모두에서 IgA 와  
IgM이 침착했고 IgG 75.6%, C<sub>3</sub> 80.4% 그리고 C<sub>4</sub>  
와 C<sub>1q</sub>는 6예의 SLE를 제외한 나머지에서 차기 91.5  
%와 85.8%의 침착결여를 보인 반면 SLE 전에는  
모두 침착을 보였다. Fibrinogen은 63.4%에서 염  
색되었다.

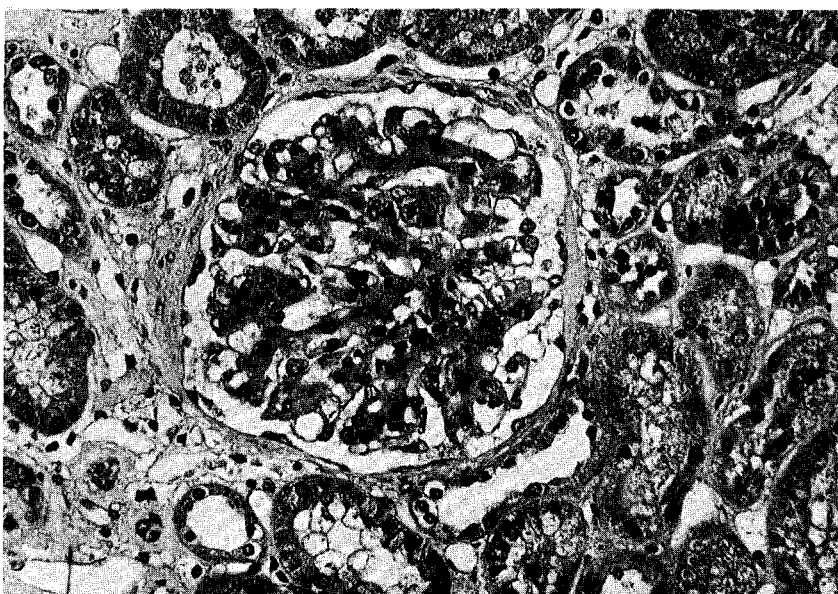
이상의 소견을 종합해 보면 IgA nephropathy는  
한국에서도 혼한 병이며 임상, 병리조직 및 면역형  
광 소견이 문현상의 보고들과 거의 대동소이 하다.

### 참 고 문 헌

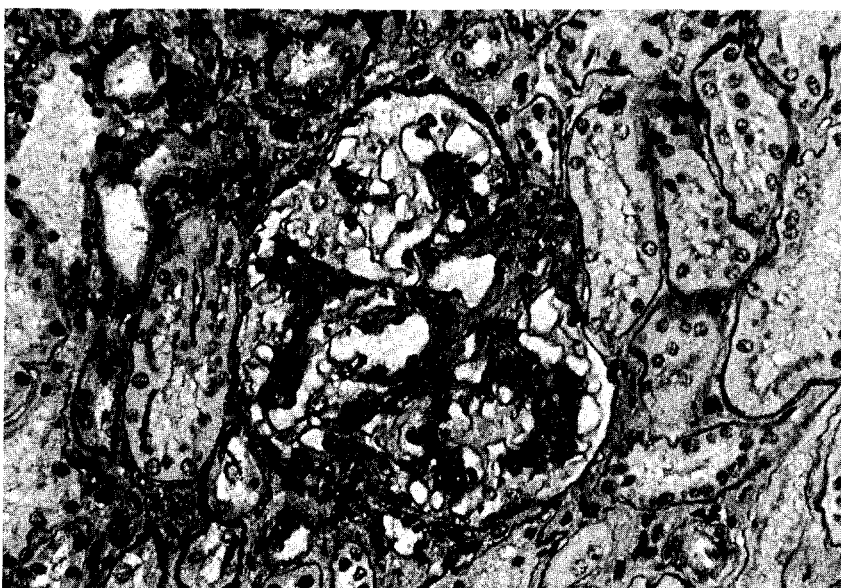
1. Berger J, Hinglais N: Les dépôts intercapillaires d'IgA-IgG. *J Urol Nephrol* 1968; 74: 694.
2. 조병수, 엄순희, 차주홍, 안창일, 양문호, 이현  
준: 소아 IgA nephropathy의 임상적 고찰. 대  
한신장학회잡지 1987; 6: 95~102.
3. Emancipator SN, Gallo GR, Lamm ME: IgA  
nephropathy: perspectives on pathogenesis and  
classification. *Clin Nephrol* 1985; 24: 161~  
179.
4. 이영혁, 이재승, 심호석, 김병길, 정현주, 최인  
준: 소아 IgA 신병증에 관한 임상적 및 조직학  
적 고찰. 대한신장학회잡지 1986; 5: 37~44.
5. 김주현, 김우주, 이명석, 김숙주, 김형규, 홍순  
국: IgA nephropathy의 임상적 판찰. 대한신장  
학회잡지 1986; 5: 45~52.
6. 김윤화, 양문호, 김명재, 조병수: IgM nephrop-  
athy의 병리조직학적 검색. 대한병리학회지 1986  
; 20: 165~177.
7. 최은영, 유광희, 안중기, 강성구: IgA nephro-  
pathy에 대한 임상적 연구. 대한신장학회잡지  
1986; 5: 164~171.
8. 윤영석, 김영진, 최의진, 차봉연, 장윤식, 이평  
우, 손호영, 강성구, 방명기: 강성구 척추염을  
동반한 IgA 신증 1예. 대한신장학회잡지 1986;  
4: 105~110.
9. 고세중, 김병길, 이종균, 배기수, 정현주, 최인  
준: Cyclosporin A로 판해를 유도한 Steroid  
저항성 미세변화형 신증후군이 병발된 IgA 신병  
증 1예. 대한신장학회잡지 1988; 7: 199~205.
10. 서병천, 김창렬, 이우길, 박문향: 장티푸스에  
동반된 IgA 신병증 1예. 대한신장학회잡지 1987  
; 6: 184~188.
11. 안명주, 김종근, 박찬현, 강종명, 박한철, 이창  
우: IgA 신증환자의 피부내 IgA 침착. 대한신  
장학회잡지 1987; 6: 329~333.
12. 유한우, 정해일, 이환종, 최용, 고광우: 스테로  
이드에 반응하는 IgA 신병증에 동반된 신증후  
군. 대한신장학회잡지 1987; 6: 89~94.
13. Clarkson AR, Woodroffe AJ, Bannister K  
M, Lomax-Smith JD, Aarons I: The syn-  
drome of IgA nephropathy. *Clin Nephrol*  
1984; 21: 7~14.
14. Spargo BH, Seymour AE, Ordonez NG:  
Renal biopsy pathology with diagnostic and  
therapeutic implications. John Wiley & Sons,  
1980.
15. Croker BP, Dawson DV, Sanfilippo F: IgA  
nephropathy correlation of clinical and hist-  
ologic features. *Lab Invest* 1983; 48: 19~24.
16. 김명재, 임천규, 조병수, 김윤화, 양문호: IgA  
nephropathy의 병리조직학적 검색. 대한신장  
학회잡지 1985; 4: 197~210.
17. Roccatello D, Coppo R, Piccoli G, Cordonnier  
D, Martina G, Rollino C, Picciotto G, Sena  
LM, Amoroso A: Circulating Fc receptor  
blocking factors in IgA nephropathies. *Clin  
Nephrol* 1985; 23: 159~168.
18. Gormly AA, Smith PS, Seymour AE, Clar-  
kson AR, Woodroffe AJ: IgA glomerular  
deposits in experimental cirrhosis. *Am J  
Pathol* 1981; 104: 50~54.
19. Laurent J, Branellec A, Heslan JM, Rosto-  
ker G, Bruneau C, Andre C, Intrator L.

- Lagru G: An increase in circulating IgA antibodies to gliadin in IgA mesangial glomerulonephritis. *Am J Nephrol* 1987; 7: 178~183.
20. Alexander F, Barabas Az, Jack RGJ: IgA nephropathy. *Hum Pathol* 1977; 8: 173.
21. Emancipator SN, Ovary Z, Lamm ME: The role of mesangial complement in the hematuria of experimental IgA nephropathy. *Lab Invet* 1987; 57: 269~276.
22. Saku K, Naito S, Matsuzaki M, Miyati J, Takebayashi S, Arakawa K: Case report of IgA nephropathy associated with ankylosing spondylitis and HLA-B27. *Nephron* 1987; 46: 333~334.
23. Kitajima T, Murakami M, Sakai O: Clinicoopathological features in the Japanese patients with IgA nephropathy. *Jap J Med* 1983; 22: 219~222.
24. Nakamoto Y, Miki K, Imai H, Takahashi F: A subset of patients with IgA nephritis mimicking essential hypertension. Proceedings of the IXth International Congress of Nephrology 1984, 114.
25. Ueda Y, Sakai O, Yamagata M, Kitajima T, Kawamura K: IgA glomerulonephritis in Japan. *Contr Nephrol* 1977; 4: 36.
26. Berger J: IgA glomerular deposits in renal disease. *Trans Proc* 1969; 1: 939.
27. Sinnisah R, Pwee HS, Lim CH: Glomerular lesions in asymptomatic microscopic hematuria discovered on routine medical examination. *Clin Nephrol* 1976; 5: 216.
28. Droz D: Natural history of primary glomerulonephritis with mesangial deposits of IgA. *Contr Nephrol* 1976; 2: 150.
29. Lee SMK, Rao VM, Franklin WA, Schiffer MS, Aronson AJ, Spargo BH, Katz AI: IgA nephropathy: morphologic predictors of progressive renal disease. *Hum Pathol* 1982; 13: 313~322.
30. Katz A, Walker JF, Landy PJ: IgA nephritis with nephrotic range proteinuria. *Clin Nephrol* 1983; 20: 67.
31. Yoshikawa N, Ito H, Yamada Y, Hashimoto H, Katayama Y, Matsuyama S, Hasegawa O, Okada S, Hajikao H, Yoshizawa Y, Mayumi M, Matsuo T: Membranous glomerulonephritis associated with hepatitis B antigen in children: a comparison with idiopathic membranous glomerulonephritis. *Clin Nephrol* 1985; 23: 28~34.
32. 박인애, 김용일, 이상국, 최용, 고광우, 김성진  
이정상 : Henoch-Schönlein 신염의 사구체기저  
막 변화에 대한 전자현미경적 관찰 —IgA 신병  
변화의 비교—. 대한신장학회잡지 1985; 4: 12  
~19.
33. 이희발, 한동철, 박노준, 황승덕 : IgA 신증의  
예후에 영향을 끼치는 인자들. 대한신장학회잡  
지 1986; 5: 172~178.
34. Beale MG, Nash GS, Bertovich MJ, Macdermott RP: Similar disturbances in B cell activity and regulatory T cell function in Henoch-Schönlein purpura and systemic lupus erythematosus. *Lab Invet* 1982; 128: 486~491

> 장은숙 사진부도 ① <

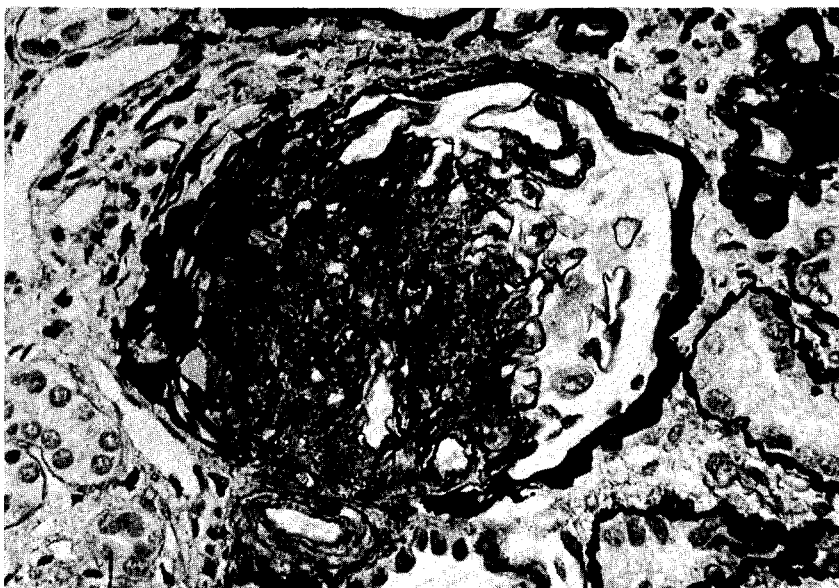


1. IgA nephropathy  
Mild increase of mesangial cells and matrix (H&E  $\times 250$ )

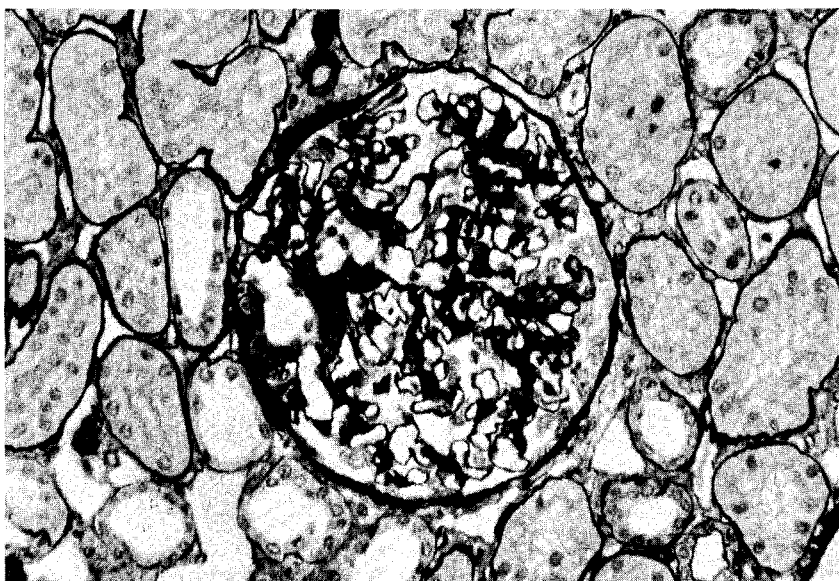


2. IgA nephropathy  
A glomerulus shows crescent formation (PAS  $\times 250$ )

> 장은숙 사진부도 ② <

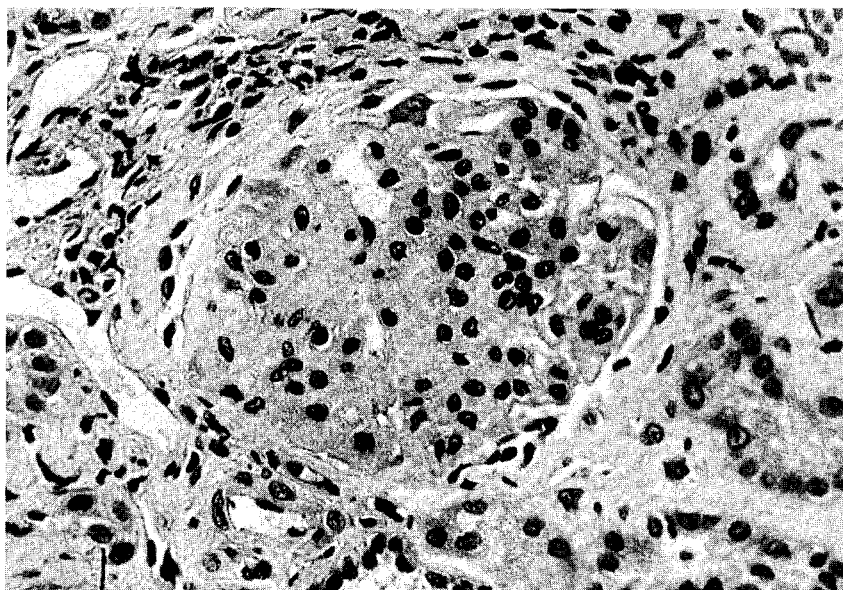


3. IgA nephropathy  
A global sclerosis of glomerulus (PAM  $\times 400$ )

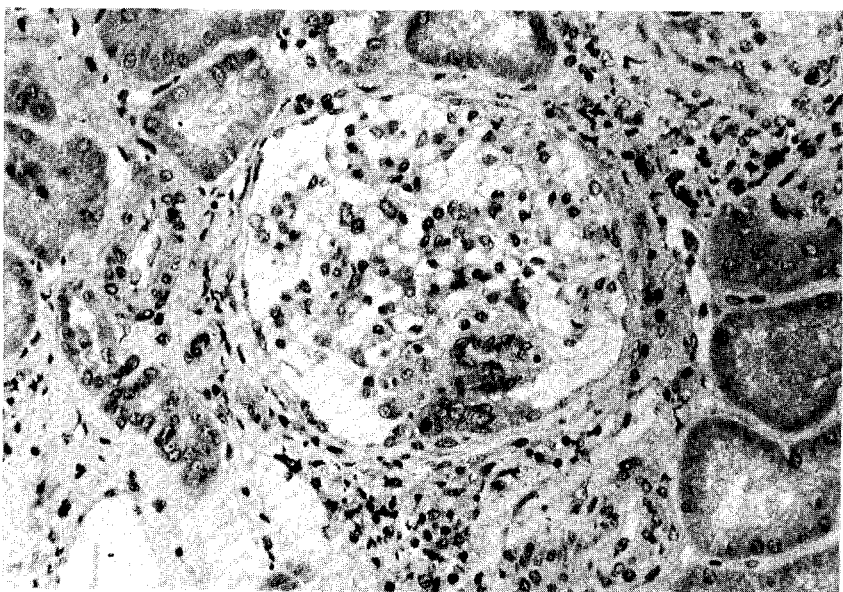


4. IgA nephropathy  
Increased mesangial cell and matrix with patent capillary  
(PAM  $\times 250$ )

> 장은숙 사진부도 ③ <

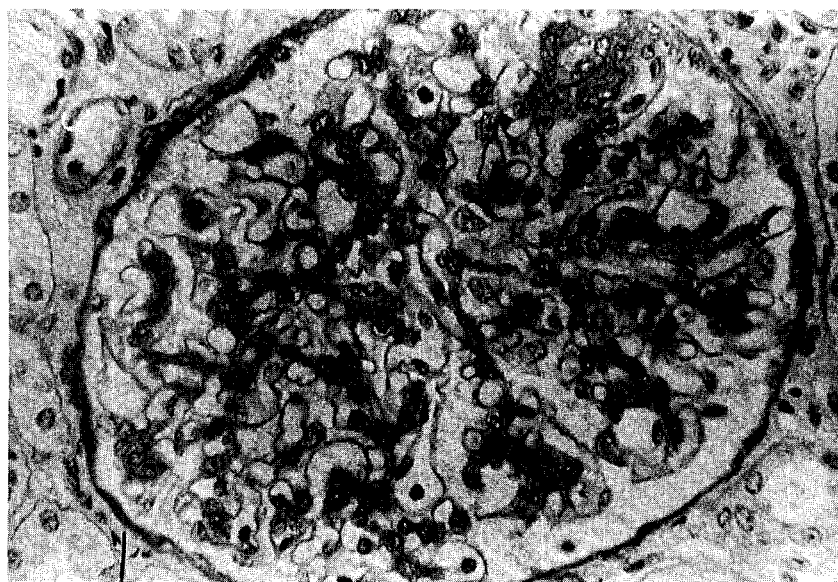


5. IgA nephropathy  
Diffuse mesangial enlargement with mild hypercellularity with capillary collapse (H&E $\times 400$ )

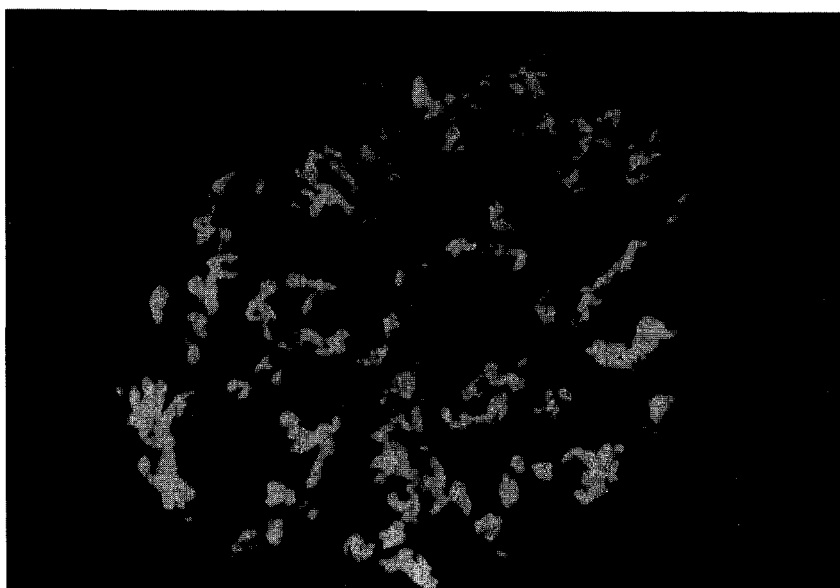


6. IgA nephropathy  
Focal glomerulosclerosis of a glomerulus (H&E $\times 250$ )

> 장은숙 사진부도 ④ <



7. Diffuse mesangial proliferation stained by PAS (PAS  $\times 400$ )



8. A glomerulus stained for IgA by the direct fluorescence method ( $\times 250$ )  
IgA is distributed through the mesangium